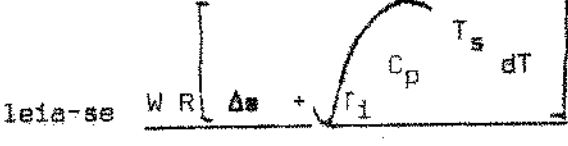


## ERRATA

1. No primeiro parágrafo do SUMMARY na primeira linha onde se lê measured, leia-se measure, na mesma página no segundo parágrafo na primeira linha onde se lê especial leia-se special.
2. Página 6 segundo parágrafo linha 5 onde se lê convecção leia-se condução.
3. Página 13 último parágrafo na primeira linha onde se lê y leia-se  $\gamma_0$ .
4. Página 14 quarto parágrafo linha 2 onde se lê para o. leia-se para o cálculo.
5. Página 15 sexto parágrafo linha 1 onde se lê Experimentalmente pode leia-se Experimentalmemente ou pode.
6. Página 16 quarta equação onde se lê  $k \int g^2(k) \dots$  leia-se  $k \int g^2(k) \dots$  na mesma página no quarto parágrafo 12nha 2 onde se lê valor leia-se calor.
7. Página 20 quarto parágrafo linha 2 onde se lê Sarevacos Pilsworth leia-se Sarevacos e Pilsworth
8. Página 28 equação nº 21 onde se lê:  
  
leia-se 
9. Página 57 linha 17 onde se lê  $m_f$  leia-se  $m_i$ .
10. Página 58 LETRAS GREGAS linha 1 onde se lê  $m/sec$  leia-se  $m^2/sec$ .

FACULDADE DE TECNOLOGIA DE ALIMENTOS  
UNIVERSIDADE ESTADUAL DE CAMPINAS

CONDUTIVIDADE TÉRMICA DE ALIMENTOS  
MÉTODOS DE DETERMINAÇÃO E  
VALORES DA LITERATURA

*Mario Bautista Castro*

Engenheiro Químico

Orientador:

*Dr. M.A. Rao*

Professor da Faculdade de Tecnologia de Alimentos

Dissertação apresentada à Faculdade de Tecnologia de Alimentos da Universidade Estadual de Campinas, para obtenção do título de Mestre em Ciências em Tecnologia de Alimentos.

## ÍNDICE

	página
RESUMO	
SUMMARY	
INTRODUÇÃO . . . . .	9
I. MÉTODOS GERAIS PARA DETERMINAR A CONDUTIVIDADE TÉRMICA. . . . .	3
A. Para o estado estacionário . . . . .	4
1.Iso térmica Cilíndrica . . . . .	4
2.Iso térmica Plana . . . . .	6
3.Iso térmica Esférica. . . . .	7
4.Vantagens, desvantagens e fontes de erro do <u>mé</u> todo estacionário . . . . .	8
B. Para o estado não estacionário . . . . .	9
1.Técnica de Linha Fonte ("Source-Line Technique")	10
2.Técnica da Sonda ("Probe Technique") . . . . .	13
3.Vantagens, desvantagens e fontes de erro do <u>mé</u> todo não estacionário. . . . .	14
C. Indiretos . . . . .	15
1.Difusividade Térmica . . . . .	15
2.Penetração de Calor . . . . .	16
II. CONDUTIVIDADE TÉRMICA EM OPERAÇÕES DE LIOFILIZAÇÃO E REFRI GERAÇÃO . . . . .	18
A. Liofilização . . . . .	18
B. Refrigeração . . . . .	24
III. TABELA DE VALORES . . . . .	28
IV. NOMENCLATURA . . . . .	57
V. BIBLIOGRAFIA . . . . .	59

...00000...

Com todo carinho:

A meus queridos pais

Pela sua ajuda material e moral:

A Nadia

## AGRADECIMENTOS

Aos professores , Dr. M.A. Rao pela sua orientação na prepara<sup>ç</sup>ão deste trabalho, a Engenheira Iracema de Oliveira Moraes e ao Engenheiro Theo Kieckbusch, por sua valiosa ajuda na par<sup>t</sup>e t<sup>e</sup>cnic<sup>a</sup>.

Ao Diretor da Faculdade de Tecnologia de Alimentos da Universidade Estadual de Campinas, Dr. André Tosello por sua dedica<sup>ç</sup>ão especial ao Curso de Post-Graduação.

A Organiza<sup>ç</sup>ão dos Estados Americanos, pela oportunidade e aju<sup>d</sup>da econ<sup>ô</sup>mica proporcionada para que este trabalho fosse reali<sup>za</sup>do.

A todos,que direta ou indiretamente colaboraram para a reali<sup>za</sup>ção deste trabalho.

## RESUMO

Neste trabalho apresentamos os métodos comuns usados para medir a condutividade térmica de produtos alimentícios, juntamente com suas vantagens e desvantagens.

Além disso, apresentamos uma extensa literatura de valores da condutividade térmica nos Sistemas de Unidades Inglês e Internacional.

Devido a especial importância das operações de refrigeração e liofilização de muitos alimentos, discutimos em um capítulo separado, os estudos relativos a condutividade térmica a baixas temperaturas e - baixas pressões. Também é discutida a influência de temperatura, pressão e porosidade sobre a condutividade térmica para a operação de liofilização.

A condutividade térmica é uma propriedade física específica de cada material e seu valor é fixo para dadas condições de pressão e temperatura. No caso de produtos alimentícios, devido a sua anisotropia e heterogeneidade, os valores da condutividade térmica citados na literatura diferem, às vezes amplamente, para um dado produto. Torna-se então necessário determinar experimentalmente a condutividade térmica, quando valores exatos são requeridos. O presente trabalho provê informação adequada para facilitar a escolha do método conveniente. No caso de determinações experimentais, sómente é necessária informação de ordem de magnitude, podendo então ser usados convenientemente os valores tabelados.

## SUMMARY

In this work we present the common methods used to measure the thermal conductivity of food products along with their advantages and disadvantages. In addition, we present extensive literature values of thermal conductivities in both the English and International System of Units.

Due to the special importance of refrigerating and freeze drying of many foods, we discuss in a separate chapter the studies on thermal conductivity at low temperatures and low pressures. The influence of temperature, pressure and porosity in the thermal conductivity for freeze drying operations is discussed.

The thermal conductivity is a physical property unique to each material and its value is fixed for given conditions of pressure and temperature. In the case of food products, because of their anisotropy and non-homogeneity, the values of thermal conductivity in the literature differ, sometimes widely for a given product. It thus becomes necessary to determine experimentally the thermal conductivities where reliable values are necessary. The present work provides adequate information to facilitate the selection of a suitable method. In the event, only an order magnitude information regarding the thermal conductivity is necessary, then the tabulated values may be used conveniently.

## RESUMEN

En este trabajo presentamos los métodos comunmente usados para evaluar la conductividad térmica de productos alimenticios, incluyendo un conjunto de ventajas y desventajas. Además, presentamos una amplia gamma de valores de la conductividad térmica en el Sistema Inglés como también en el Sistema Internacional de Unidades.

Debido a la especial importancia de la refrigeración y liofilización de muchos alimentos, discutimos, en un capítulo separado el estudio de la conductividad térmica a bajas temperaturas y presiones. También es discutido la influencia de la temperatura, presión y porosidad para la operación de liofilización.

La conductividad térmica es una propiedad física particular de cada material y tiene un valor fijo para determinadas condiciones de presión y temperatura. En el caso de productos alimenticios debido a su estructura anisótropa y heterogénea, los valores reportados en la literatura difieren algunas veces ampliamente, para un producto dado; siendo necesario entonces una determinación individual para obtener un valor exacto. El presente trabajo provee adecuada información para facilitar la selección de métodos convenientes. Para el caso de determinaciones experimentales sólamente es necesario información del orden de magnitud de la conductividad térmica, entonces, los valores tabulados pueden ser convenientemente usados.

## I N T R O D U Ç Ã O

O conhecimento de condutividade térmica dos alimentos é indispensável, na faixa das altas e baixas temperaturas, para o cálculo das operações que envolvem: secagem, resfriamento, esterilização, liofilização, congelamento, etc.

O objetivo, deste trabalho, é proporcionar ao interessado todos os métodos conhecidos para determinação de condutividade térmica de alimentos, para que possa adaptá-los a seus propósitos de pesquisas, incluindo, além disso, uma extensa tabela de valores que fornece dados apropriados para o projeto de equipamentos para indústria alimentícia.

No capítulo I descrevem-se métodos e equipamentos para calcular a condutividade térmica dos alimentos sólidos, líquidos ou fluidos pastosos com especifica bibliografia, para quem necessitar de maiores detalhes. A classificação está baseada no regime de transporte de energia utilizado, ou seja, métodos de estado estacionário, não estacionário e outros que são métodos indiretos de medida. Para cada caso se relaciona um conjunto de vantagens e desvantagens, a fim de facilitar sua aplicação.

O capítulo II é dedicado a uma breve discussão das operações de grande importância na indústria alimentícia: a liofilização e a refrigeração (resfriamento e congelamento). No primeiro caso se faz uma revisão bibliográfica dos estudos feitos da condutividade térmica na liofilização, em dependência com a pressão, a porosidade do produto, a temperatura de operação e com as condutividades individuais do material poroso bem como do gás que ocupa os poros.

Para o estudo da condutividade térmica na refrigeração, se considerou Lenz (1961) como referência.

No capítulo III estão compilados valores de condutividades térmicas de produtos alimentícios, no sistema inglês e também no sistema internacional de unidades, extraídos de diversas fontes bibliográficas.

Revisões bibliográficas de grande utilidade foram de publicações de Reidy (1971); Woodams e Nowrey (1968) e Jason e Jawitt (1969).

## I. MÉTODOS GERAIS PARA DETERMINAR A CONDUTIVIDADE TÉRMICA

A condutividade térmica  $k$  de qualquer elemento está definida pela lei de Fourier da condução de calor unidimensional em estado não estacionário:

$$\frac{dQ}{d\theta} = -k A \left( \frac{dT}{dx} \right) \quad (1)$$

onde  $dQ$  é o calor transmitido no tempo  $d\theta$  ao longo de um gradiente de temperatura ( $dT/dx$ ) perpendicular à área  $A$ . O sinal menos indica, que o calor é transferido em sentido contrário ao gradiente positivo de temperatura. Desta forma, qualquer método para determinar o valor absoluto de  $k$  requer o conhecimento de uma distribuição de temperatura, com simultânea medida de fluxo de calor. A distribuição de temperatura em coordenadas cartesianas de um sólido quando a condutividade é uniforme, é definida por:

$$\frac{\rho C_p}{k} \frac{\partial T}{\partial \theta} = \left( \frac{\partial^2 T}{\partial x^2} + \frac{\partial^2 T}{\partial y^2} + \frac{\partial^2 T}{\partial z^2} \right) + u \quad (2)$$

sendo que em produtos onde não há geração interna de energia, o termo  $u$  torna-se zero e em todos os métodos abaixo, observar-se-á esta condição.

Os equipamentos, para a determinação da condutividade térmica podem ser divididos em duas classes:

1º - Aquêles, nos quais os valores locais da temperatura  $T$  são constantes em relação ao tempo  $\theta$  (métodos estacionários).

2º - Aquêles, nos quais os valores locais da temperatura  $T$  variam com relação ao tempo  $\theta$  (métodos não estacionários).

Das equações (1) e (2) se obtém o valor  $k$ , em função de dados já conhecidos.

Frequentemente os valores de  $k$  encontrados na literatura estão em desacordo. Esta aparente contradição é atribuída não somente a erros instrumentais como também ao uso de métodos, alguns dos quais não são convenientes para determinados alimentos (Reidy, 1971). Embora cuidados sejam tomados para evitar erros, o desacordo persistirá, devido à heterogeneidade de cada amostra (exemplo: conteúdo de umidade, de proteína, gordura, etc.). Por esta razão, mencionam-se os erros dos métodos nas determinações experimentais.

#### A. Métodos do Estado Estacionário

A condição fundamental do estado estacionário é que  $(\partial T / \partial \theta)$  na Equação (2) seja zero, ficando reduzida a:

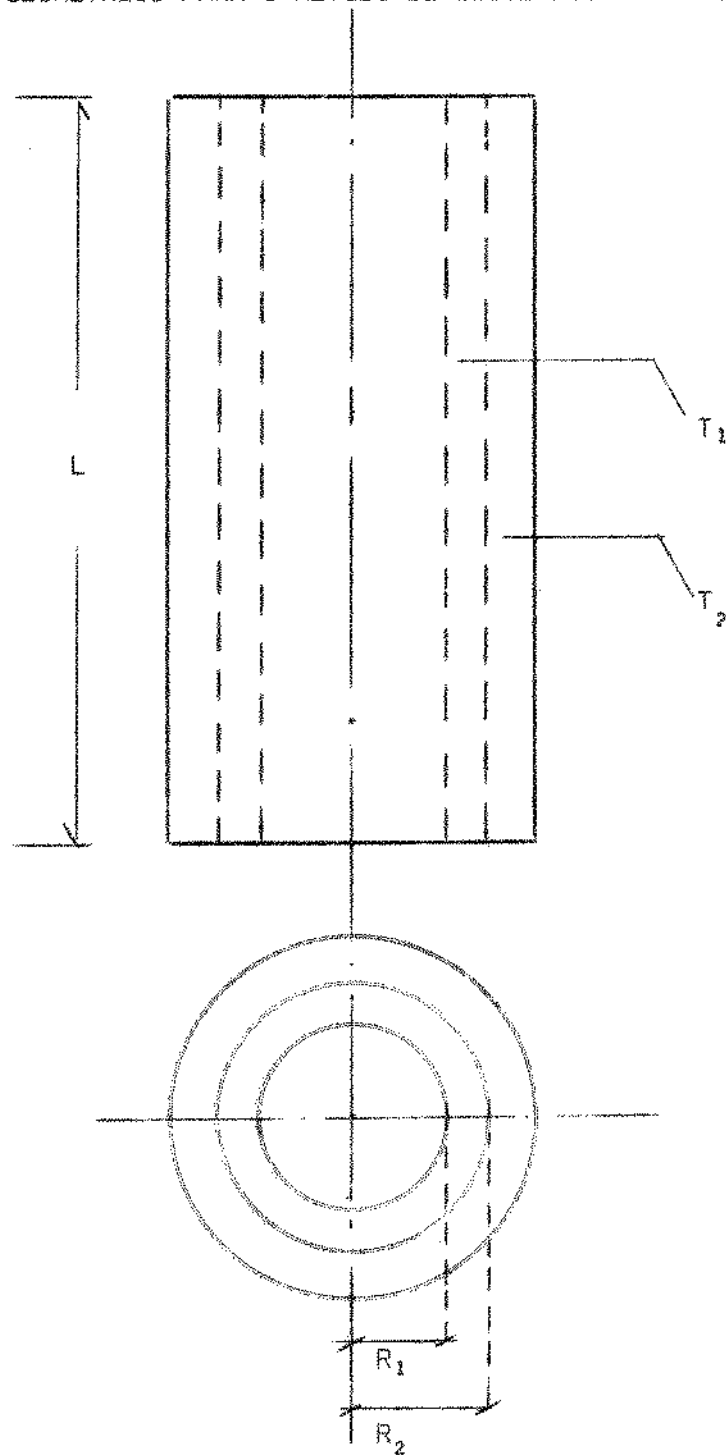
$$0 = \frac{\partial^2 T}{\partial x^2} + \frac{\partial^2 T}{\partial y^2} + \frac{\partial^2 T}{\partial z^2} \quad (3)$$

Ao se resolver as Equações (1) e (3), de acordo com a geometria de um sistema particular, obteremos as soluções para os métodos do regime estacionário.

1 - Isotérmica cilíndrica. Consiste de dois cilindros montados coaxialmente; como na Figura 1. O cilindro interno é aquecido, mediante uma resistência elétrica, produzindo uma quantidade de calor  $Q$ , o externo é esfriado com água. O fluido, cujo valor de  $k$  é desconhecido, é posto no espaço anular; pares termocelétricos são usados para medir a diferença de temperatura através do fluido.

FIGURA 1

MODELO GEOMÉTRICO PARA O MÉTODO DE ISOTÉRMICA CILÍNDRICA



A expressão matemática para k é obtida das Equações (1) e (3), esta última transformada em coordenadas cilíndricas (Eckert e Drake, 1959):

$$k = \frac{Q \ln (R_2 / R_1)}{2 \pi L (T_1 - T_2)} \quad (4)$$

O método é usado para líquidos e o aperfeiçoamento do equipamento foi descrito por Tait e Hills (1964). Tem a desvantagem que, devido ao espaço anular, a diferença de temperatura deve manter-se baixa para prevenir a convecção. Encontrou-se um erro de 2% ao assumir um mecanismo integralmente de convecção; para evitar este efeito, se recomenda usar uma delga da capa de fluido e uma diferença de temperatura de 1°F, quando possível (Woodams e Nowrey, 1968).

2 - Isotérmica plana. Também chamado método de placas paralelas. Aqui o material em estudo é colocado entre duas placas horizontais, esta configuração reduz a convecção através de camada do fluido ao mínimo; a placa superior é aquecida e a inferior esfriada a temperaturas constantes. Cuidados devem ser tomados através de um adequado isolamento e uma proteção térmica, que reduza ao mínimo o calor perdido pela placa superior em outros sentidos.

Assumindo, que a substância em estudo é perfeitamente isotrópica (fluxo unidirecional), pode-se integrar as Equações (1) e (3) (Eckert e Drake, 1959), dando:

$$k = \frac{Q L}{A (T_1 - T_2)} \quad (5)$$

onde A é a área da secção plana em contacto com o material, L é a espessura do material entre as placas. A quantidade de calor Q, fornecida à placa, é determinada baseada em dados de aquecimento; atualmente existem

medidores diretos de calor especialmente desenhados (Hill, Leitman e Sunderland, (1967).

Este método, é amplamente usado, para a medida da condutividade térmica, durante e depois da liofilização dos alimentos; devido a sua importância será discutido em capítulo posterior.

O método de placas paralelas foi usado para alimentos frescos e congelados como bife, porco, vitela, carneiro, por Hill, Leitman e Sunderland (1967). Eles estudaram a variação da condutividade térmica com o conteúdo de umidade e porcentagem de gordura (ver tabelas).

Além disso, com este método, concluíram que acima do ponto de congelamento o valor de k incrementa com a temperatura, e abaixo diminui.

Dentre os métodos do estado estacionário, este é o mais usado, embora não seja ideal do ponto de vista de fluxo de calor, porque o fato de as sumir o fluxo em uma só direção não é verdadeiro na prática e as isotérmicas são desviadas sensivelmente em outras direções, mesmo utilizando-se os melhores isolamentos. Podem ser empregados para sólidos, líquidos e fluidos pastosos. Uma versatilidade de seu uso para líquidos está descrita no artigo de Tait e Hills (1964).

3 - Isotérmica esférica. Empregam-se duas esferas colocada concentricamente: com o fluido colocado no espaço anular resultante; a esfera interna é aquecida elétricamente e a externa é resfriado com água, a temperatura do fluido nas superfícies é registrada com pares termoselétricos.

A solução simultânea das Equações (1) e (3), esta última transformada em coordenada esférica (Eckert e Drake 1959, e Reidy 1971); resulta:

$$k = \frac{Q}{\sqrt{\frac{A_2}{A_1} \cdot (T_1 - T_2)}} \cdot (R_2 - R_1) \quad (6)$$

Onde  $A_1, A_2$  representam as áreas superficiais do espaço anular esférico e  $R_1, R_2$  são os raios das esferas concêntricas.

Embora o método da isotérmica esférica possa eliminar erros de distribuição de calor, sua aplicação em líquidos (Tait e Hills 1964) introduz a necessidade de um suporte mecânico e a colocação geométrica exata da esfera interna. Devido a estas dificuldades este método quase não é utilizado.

4 - Vantagens, desvantagens e fontes de erro do método estacionário. Entre as vantagens do regime estacionário temos:

- (a) Apresenta uma simples solução matemática, sempre que o fluxo de calor for unidirecional; pois assim a Equação (2) fica reduzida a uma equação diferencial ordinária de segunda ordem e grau um.
- (b) É conveniente para líquidos, para alimentos desidratados em pó e em grãos ou outra forma sólida;
- (c) A magnitude do erro devido às isotérmicas não lineares pode ser computada quantitativamente para o método de placas paralelas (Reidy 1971).
- (d) Pode-se utilizar pequenas amostras como teste.

Consideram-se, como desvantagens:

- (a) O fato de que não pode ser aplicado satisfatoriamente a alimentos semi-sólidos, cuja porcentagem de umidade seja maior que 10% (Reidy 1971), porque um longo período de aquecimento produziria uma desidratação do produto, modificando sua verdadeira composição.
- (b) O método requer muito tempo para a experiência (mais de 1 hora)
- (c) Os erros devidos a resistência de contacto entre a superfície metálica e amostra são grandes.
- (d) Há dificuldades para dimensionar a amostra para a forma esférica e cilíndrica.

(e) Há perdas de calor especialmente nas placas paralelas e no cilindro concêntrico.

Dentre os fatores principais, que podem causar erro no procedimento para determinar a condutividade térmica, pelos métodos mencionados teremos:

(a) A medida do fluxo de calor.

(b) Medida da área de teste

(c) Medida da temperatura

(d) Migração de umidade através da amostra, que tem alto teor de umidade.

(e) Uso de amostra em pedaços para um teste criando resistências internas à medida que o calor flui.

(f) Resistência superficial da amostra

(g) Transferência de calor por convecção.

(h) Perda de calor por radiação

(i) Heterogeneidade da amostra

#### 8. Métodos do Estado não Estacionário

A condição fundamental para o estado não estacionário é que o valor pontual da  $(\partial T / \partial t)$  seja diferente de zero e a solução das Equações (1) e (2) é agora complexa. Explicaremos duas técnicas e primeira das quais, é mais conhecida e usada.

1 - Técnica da Linha Fonte ("Source Line Technique").

Para compreensão do método, usaremos como guia uma recente publicação de Qashou, Nix, Vashon e Lowery (1970). O diagrama geral do equipamento é mostrado na Figura 2.

A amostra cilíndrica é colocada em um recipiente da mesma forma, os terminais do cilindro devem estar isolados; um arame como resistência elétrica é colocado no eixo maior e um par termocelétrico é colocado no ponto médio do eixo do cilindro.

A solução das equações (1) e (2), para computar o valor de  $k$  é dada por Qashou, Nix, Vashon, Lowery (1970) e Dickerson (1965):

$$k = \frac{Q \ln (\theta_2/\theta_1)}{4 \pi (T_2 - T_1)} \quad (7)$$

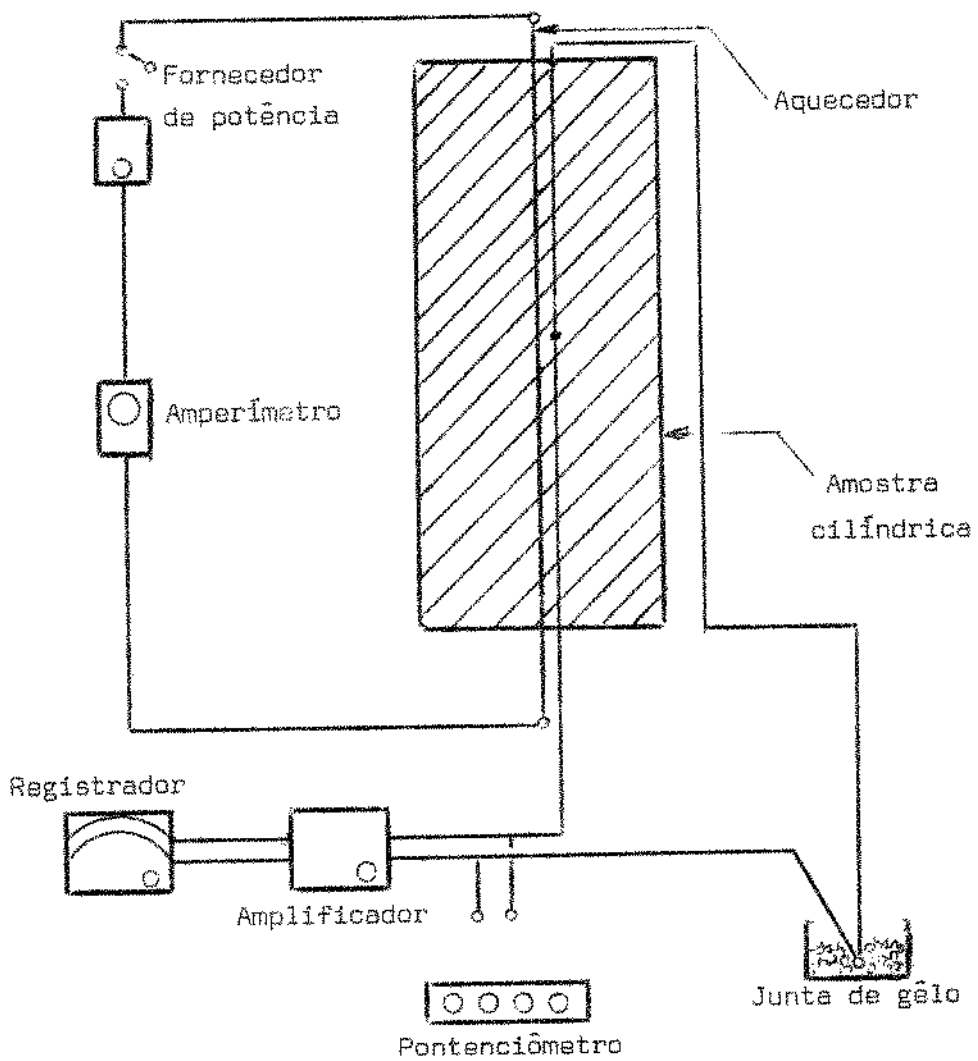
onde  $Q$  é a quantidade de energia fornecida à resistência elétrica.

No trabalho experimental, se tomam as leituras de tempos versus a elevação de temperatura, com as quais constrói-se um gráfico (semi-logarítmico), obtendo-se uma linhareta como na Figura 3 a partir da qual se obtém os dados necessários para encontrar o valor de  $k$ . A equação (7) mostra, que a energia fornecida à resistência deve ser dissipada pela amostra, nas proximidades do arame; portanto a temperatura da amostra em torno do aquecedor dependerá do modo de conduzir o calor.

O método é considerado altamente prático por sua curta duração, que produz uma pequena variação de temperatura sem perigo de danificar o material biológico. Dickerson (1965) utilizou este método para alimentos enlatados, e em uma posterior publicação de Dickerson e Read (1968) usaram a mesma técnica, para determinar a condutividade de uma maionese de batatas.

FIGURA 2

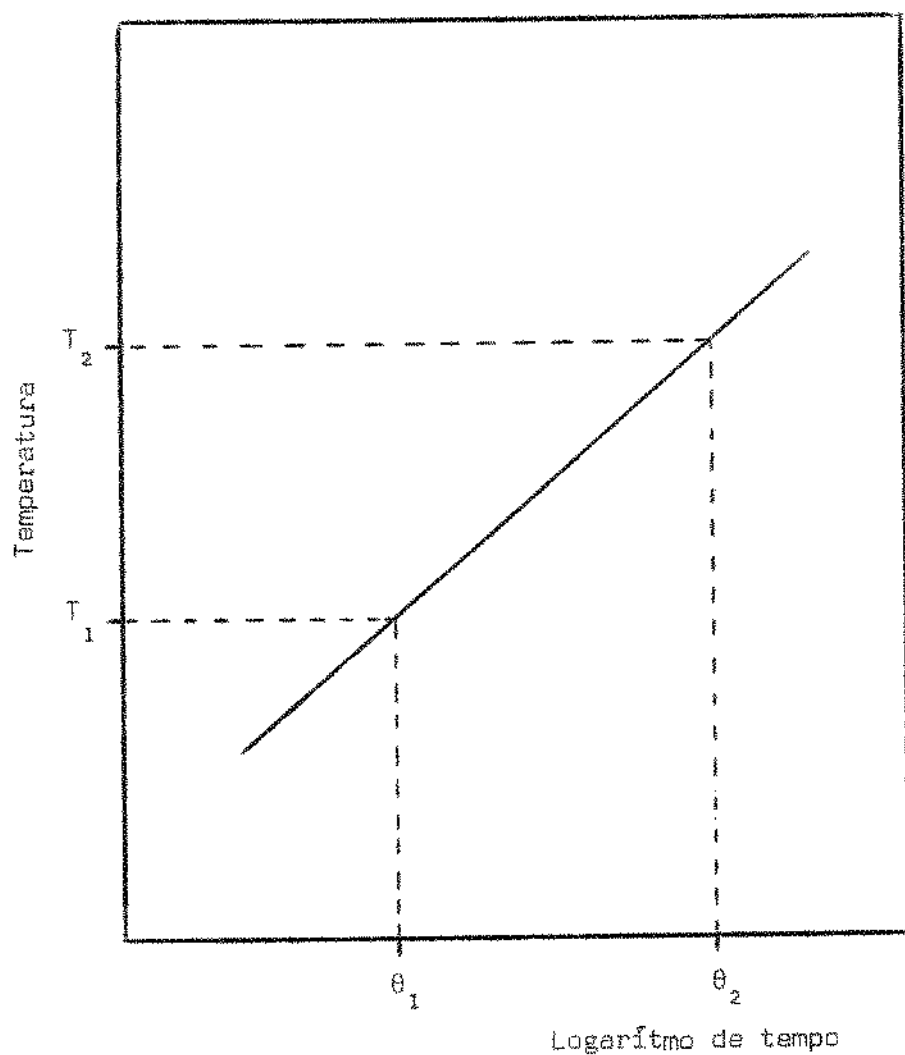
DIAGRAMA BÁSICO PARA O MÉTODO "SOURCE LINE TECHNIQUE"



Extraído de Qashou, Nix, Vachon e Lowery (1970)

FIGURA 3

GRÁFICO EXPERIMENTAL PARA O MÉTODO "SOURCE LINE TECHNIQUE"



Antes do experimento, é necessário uma prova, para determinar a quantidade de corrente elétrica necessária para obter um resultado razoável. Este teste preliminar serve para avaliar a capacidade mecânica do instrumento e determinar a voltagem máxima a ser utilizada, de modo que o material testado não seja danificado (Stolfi 1972).

2 - Técnica da Sonda ("Probe Technique"). Este método foi desenvolvido por Morley (1966), o esquema do equipamento é semelhante ao anterior, a diferença consiste em proteger o aquecedor e o par termoelétrico dentro de um bulbo cilíndrico de aço chamado "probe", o qual é introduzido na amostra, o conjunto deve estar protegido em ambiente a temperatura constante. O experimento começa quando o conjunto atingir uma temperatura de equilíbrio.

Uma solução, para o estado não estacionário das equações (1) e (2), é apresentado por Vries e Peck (citado por Morley 1966)

$$\Delta T = \frac{I^2 R}{4 \pi k} \left\{ \ln \left( \frac{1}{x} \right) - 0,5772 + x \left\{ 2 \left( 1 - \frac{\alpha k_1}{\alpha_1 k} \right) \left( \ln \left( \frac{1}{x} \right) - 0,5772 \right) + 2 + \frac{\alpha}{\alpha_1} \right\} + \right. \\ \left. + \text{termos em alta potência de } x \right\} \quad (8)$$

Onde  $x$  é  $(Y_0^2 / 4 \alpha \theta)$ ,  $y'$  é o raio do "probe",  $I$  é a intensidade da corrente;  $R$  é a resistência elétrica por unidade de comprimento do aquecedor;  $k$  e  $k_1$  são as condutividades térmicas da amostra e da "probe" respectivamente e  $\alpha$ ,  $\alpha_1$  são as difusividades térmicas da amostra e "probe" respectivamente.

Depois de certo tempo,  $\chi$  torna-se suficientemente pequeno e a equação(8) se reduz a:

$$\Delta T = \frac{I^2 R}{4 \pi k} \left| \ln \left(\frac{1}{\chi}\right) - 0.5772 \right| \quad (9)$$

Se locamos  $T$  versus  $\ln \chi$ , obteremos uma linha reta com declividade  $G$ :

$$G = \frac{I^2 R}{4 \pi k} \quad (10)$$

a partir do qual se determina  $k$ .

Como o método anterior, este é muito rápido, de modo que com leituras de cinco minutos, pode-se obter uma curva necessária para o cálculo. As simplificações, que foram feitas da equação original, diminuem a precisão do método.

3 - Vantagens, desvantagens e fontes de erro do método não estacionário.  
As principais vantagens do método não estacionário são:

- (a) Rapidez na obtenção dos resultados.
- (b) As condições, em que é testada a amostra, se aproximam às condições de processamento.
- (c) É conveniente para alimentos de alto conteúdo de umidade e para alimentos congelados.
- (d) No caso do método "Probe Technique" é conveniente para alimentos "in situ".

Como principais desvantagens teríamos: a dificuldade em resolver as Equações para o estado não estacionário; e uma adequada seleção de condições limites para a integração.

Alguns fatores que causam erros podem ser:

- (a) A medida da temperatura.
- (b) A medida do tempo
- (c) A localização do par termoselétrico.
- (d) A transferência de calor por convecção.
- (e) Uso de amostras heterogêneas ou anisotrópicas.
- (f) Fluxo de calor não linear ou não radial.

### C. Indiretos

São métodos, que embora se baseiam no regime não estacionário de fluxo de calor, seu cálculo se faz indiretamente, por medição de outras propriedades térmicas.

1. Método de Difusividade Térmica. A difusividade é uma medida da quantidade de calor absorvido por um material devido a uma variação de temperatura. Matematicamente está definida pelos termos da Equação (11).

$$\chi = \frac{k}{\rho C_p} \quad (11)$$

onde  $\rho$  é a densidade do alimento,  $C_p$  sua capacidade calorífica e  $k$  a condutividade térmica.

Experimentalmente pode ser determinado com um equipamento simples e por integração da Equação (2) (Dickerson 1955).

Um método recente para encontrar  $\alpha$  foi desenvolvido por Hayakawa(1971),

que para a solução das equações (1) e (2) utiliza um programa de computação (FORTRAN IV) com uma considerável economia de tempo.

O método é recomendado em geral para alimentos sólidos como carnes e para alimentos pastosos como albumina de ovos.

2. Método de Penetração de Calor. O método se resume em resolver a Equação de Ball e Olson (1957):

$$k = \frac{2.303 \rho C_p}{f (\lambda_1^2 + \mu_1^2)} \quad (12)$$

onde  $f$  é a declividade recíproca negativa da curva de penetração de calor ou é o tempo para uma parte da linha reta da curva de penetração de calor passe através de um ciclo logarítmico;  $\lambda_1$  e  $\mu_1$  são funções que dependem da condutividade térmica  $k$  e do coeficiente de transferência de calor  $h$  (Ball e Olson 1957), podendo ser representados da seguinte forma:

$$\lambda_1 = g(k, h) \quad (13)$$

$$\mu_1 = g'(k, h) \quad (14)$$

Se estas Equações são substituídas na Equação (12) o resultado é:

$$k = | g^2(k) + g'^2(k) | = \frac{2.303 \rho C_p}{h^2 f} \quad (15)$$

onde a única incógnita é  $K$ .

Logo na prática, quando se quer determinar a condutividade térmica de um alimento, é necessário que se conheça: a curva de penetração de calor (tempo versus logaritmo de temperatura) para obter  $f$ , a densidade  $\rho$ , o calor específico  $C_p$  e o coeficiente de transferência de calor  $h$ , que também é obtido da curva de penetração de calor (Charm 1963 a).

A Equação (15) pode ser resolvida por qualquer do seguintes métodos: o gráfico, ou por tentativas , pode usar-se computador digital . O método só precisa da curva de penetração de calor (obtida experimentalmente) alias útil também para o cálculo da difusividade térmica. Os valores de  $\rho$  e  $C_p$  podem ser encontrados em tabelas ou ser determinados experimentalmente.

O método é geralmente usado durante um congelamento ou descongelamento.

## II. CONDUTIVIDADE TÉRMICA NA LIOFILIZAÇÃO E REFRIGERAÇÃO

Devido a aplicação cada vez maior da liofilização de alimentos como meio de preservação, muita informação tem sido publicada a respeito. Neste capítulo resumimos as maiores contribuições divulgadas na bibliografia, relacionadas especificamente com a dependência de  $k$  versus a temperatura, pressão, porosidade e condutividade térmicas individuais do gás, e sólido.

Foi detalhado o artigo de Harper (1961), por ser o mais importante, tendo sido tomado como padrão de comparação por pesquisadores posteriores. Também é feita uma análise completa do artigo de Massey e Sunderland(1967) , que fornece um método para medir  $k$  durante a liofilização.

Na parte final, descreve-se um método Standard da ASTM para alimentos a temperaturas usuais de refrigeração, usado por Lentz (1961), o qual demonstrou a precisão do método por comprovação de uma fórmula utilizada em alimentos congelados.

### A . Liofilização

Partindo do fato de que em um processo de liofilização (pressões sub-atmosféricas) as propriedades de transporte não seguem as leis do fluxo contínuo, Harper (1962) foi o primeiro a estudar o movimento do vapor e o fluxo de calor. Considerou, que o fluxo do fluido se deve aos mecanismos de difusão Knudsen e fluxo hidrodinâmico, enquanto que a condutividade térmica dos gases em meios porosos dependia da condutividade individual do gás e da geometria do sistema poroso. Os efeitos de radiação não foram levados em conta.

No seu primeiro artigo, Harper estudou a variação de  $k$  dos gases nos meios porosos dos produtos liofilizados em função da pressão, desenvolvendo inicialmente uma relação semi-teórica da seguinte forma:

$$\frac{k_g}{K_{go}} = \frac{1}{1 + C/P} \quad (16)$$

$K_{go}$  e  $k_g$  são as condutividades térmicas do gás livre e do gas no sólido poroso respectivamente; C é uma constante, que depende da porosidade e P é a pressão.

Usou um método experimental para comprovar a validade da relação anterior. A técnica empregada baseia-se no método das placas paralelas; uma amostra liofilizada (bife, maçã ou ervilha) foi colocada entre elas e o conjunto foi fechado em uma câmara de vácuo com pressão regulável. Os valores de  $k_g$  versus a variação de pressão (entre 0 e 760 mmHg) foram graficados, por outro lado os valores calculados pela relação de Harper foram levados ao mesmo gráfico, para isto o valor da constante C foi escolhida de maneira que se adapte a um dado experimental. O valor de  $K_{go}$  foi tomado como a diferença entre os valores de alta e baixa pressão (0 mm Hg). O procedimento estrito, para encontrar  $k_g$  com a Equação (16), consistiria em calcular experimentalmente C e  $k_g$  para o que são necessários dados adicionais; mas devido à extraordinária coincidência de ambos resultados posta em evidência em um só gráfico, demonstrou-se a relação de Harper junto com a metodologia empregada. Estes resultados fornecem útil informação para aplicação direta a problemas de liofilização. Além disso em seu experimento Harper mediou a porosidade do produto seco, fez também observações de caráter empírico no sentido de que em materiais de alta porosidade e baixa condutividade de sólido, a soma desta condutividade com a condutividade térmica do gás, que ocupa o espaço poroso representa a condutividade total chamada efetiva  $k_e$ .

Em trabalho posterior Harper e El Sahrigi (1964) comproveram experimentalmente tal afirmação empírica. A condutividade térmica efetiva foi calculada pelo método usado em seu experimento anterior com ligeiras modificações. Comprovou também que  $k_e$  diminui de um valor constante a altas pressões (próximas à atmosférica); a um valor inferior a baixas pressões (abaixo de 0.1 mmHg). Seus experimentos foram realizados com diferentes gases atmosféricos, sendo usado para tais amostras de maçã, pêra e bife liofilizados.

Um estudo teórico-prático detalhado entre a condutividade térmica e a porosidade de um produto liofilizado foi pesquisado por Stuart e Closset (1971), os quais usaram uma amostra de bife. Para eles as condutividades estão relacionados da seguinte forma:

$$k_e = k_s + \phi (k_g - k_s) \quad (17)$$

onde  $k_e$  e  $k_s$  são as condutividades térmicas efetiva e do sólido poroso respectivamente, e  $k_g$  é a condutividade do gás no espaço poroso (medida a 0 mmHg). Baseados em dados de secagem e usando a Equação (17) encontraram a condutividade térmica efetiva. Estes valores foram comparados com os dados obtidos por Harper (1962), mostrando uma boa aproximação.

Uma pesquisa detalhada e extensa, para estudar os fatores, que influenciam na velocidade de transmissão de calor na liofilização, foi publicada, por Triebes e King (1966). O equipamento empregado para o experimento é o chamado "guarded hot plate", baseado no método das placas paralelas, embora a montagem e as precauções tomadas, para simular, o modelo da isotérmica plana, foram altamente sofisticadas em detalhes, assegurando deste modo a fidelidade dos resultados; a partir daí se concluiu, que a condutividade efetiva da amostra (peru) incrementa-se de duas maneiras com o aumento de pressão (entre 0 e 760 mmHg), ou com o aumento da condutividade térmica do gás que ocupa o espaço poroso. Não foi evidenciado efeito nenhum com o aumento de temperatura; enquanto que aumentando a umidade relativa do gás nos poros, aumenta  $k$  efetiva; finalmente Triebes e King verificaram um acentuado efeito da orientação da fibra do produto sobre a velocidade de condução de calor no sentido de que a velocidade é maior, quando a direção do fluxo é paralela à fibra e menor quando o fluxo é normal à mesma.

Embora os autores acima citados não tivessem encontrado variação da condutividade efetiva com a temperatura, estudos de Sarevacos & Pilsworth (1965) demonstraram uma relação linear direta (quase na mesma faixa de

temperatura), quando calculam condutividades térmicas de alimentos em es  
tado gel tais como: amido, gelatina gel, pectina, celulose, goma e albú  
mem de ovos. Eles usaram o equipamento "guarded hot plate" de alta pre  
cisão.

A aparente contradição dos autores demonstra, que não pode ser desenvolvido  
um método geral para estudar a variação das propriedades dos alimen  
tos e por isso devem ser feitas determinações experimentais isoladas.

A medição da condutividade térmica, durante a liofilização, foi estudada  
 em amostras de peixes por Lusk, Karel e Goldblith (1964) e de bife por  
 Massey e Sunderland (1967) cujo experimento será descrito a seguir.

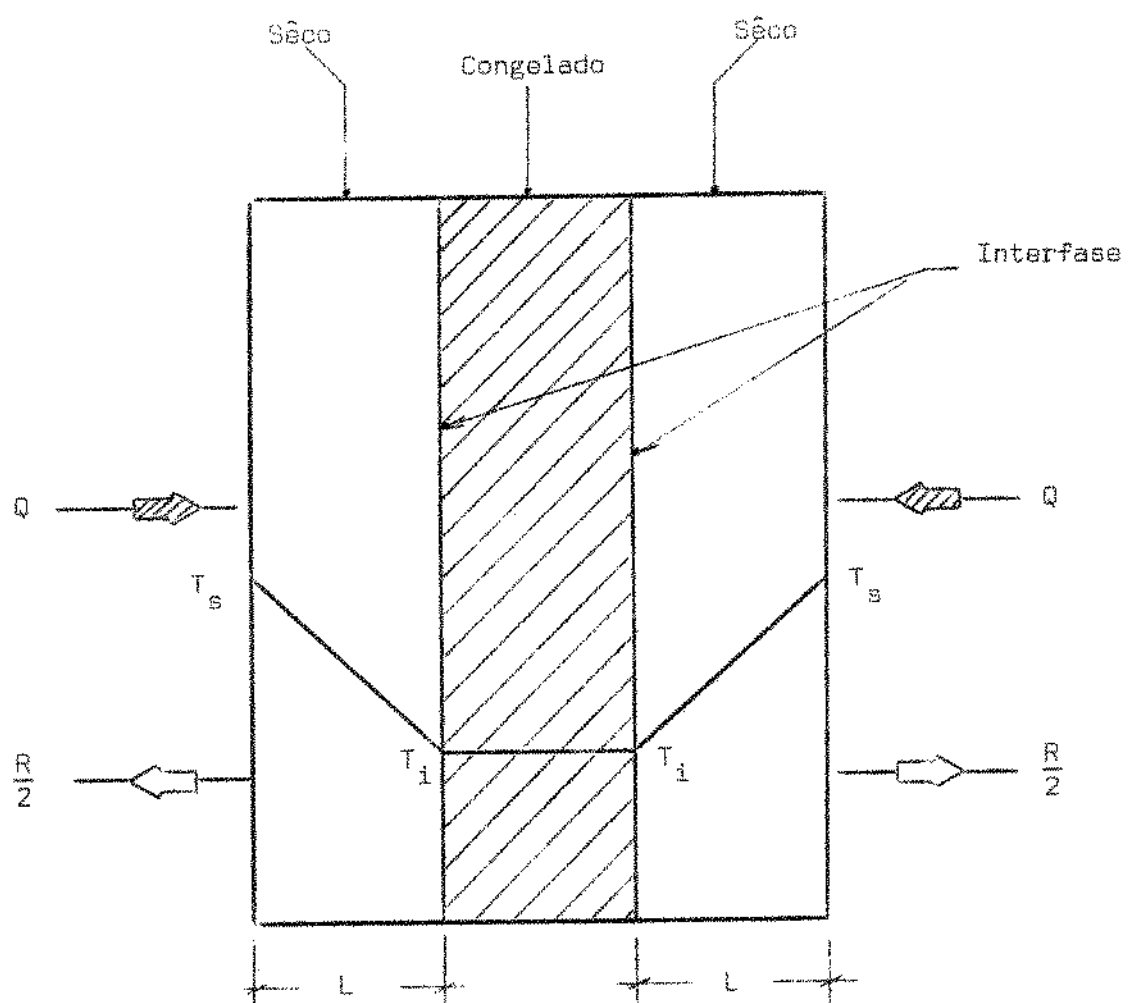
Uma amostra de bife foi colocada entre placas paralelas verticais aquecidas; o conjunto foi posto em uma câmara de vácuo controlado, uma balança de precisão foi adaptada para medir o peso da amostra durante a sublimAÇÃO; pares termoeletricos foram colocados na superfície e no centro da amostra. Assumiu-se o modelo da Figura 4 para o estudo da condutividade térmica. Massey e Sunderland apresentaram a expressão para o fluxo de calor que flui a interface:

$$Q = \frac{2 k A (T_s - T_i)}{L} - R \int_{T_i}^{T_s} C_p dT \quad (16)$$

onde  $k$  é a condutividade térmica da região seca,  $R$  é o fluxo total de vapor devido a sublimação. A Equação anterior representa o seguinte equilbrio de energia:

FIGURA 4

MODELO DE MASSEY E SUNDERLAND PARA O ESTUDO DA CONDUTIVIDADE TÉRMICA NA LIOFILIZAÇÃO



$$\left[ \begin{array}{l} \text{Fluxo de calor} \\ \text{que flui para} \\ \text{interfase} \end{array} \right] = \left[ \begin{array}{l} \text{Calor de condução} \\ \text{da superfície que} \\ \text{flui para interfase.} \end{array} \right] - \left[ \begin{array}{l} \text{Energia} \\ \text{absorvida} \\ \text{pelo vapor} \end{array} \right]$$

Um equilíbrio de matéria fornece:

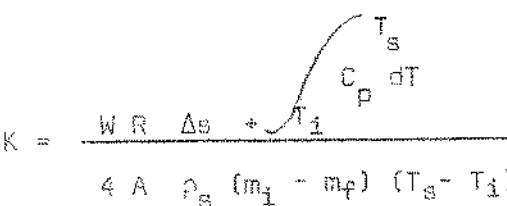
$$W = 2 A L \rho_s (m_i - m_f) \quad (19)$$

onde  $m_i$  e  $m_f$  são as unidades iniciais e finais por unidade de peso do produto,  $\rho$  é a densidade da região seca.

Por outro lado o fluxo total de calor que flui a interfase é:

$$Q = R \Delta s \quad (20)$$

onde  $s$  é o calor de sublimação. Combinando as equações (18), (19) e (20) resulta para  $k$ :

$$k = \frac{W R \Delta s + \int_{T_i}^{T_s} C_p dT}{4 A \rho_s (m_i - m_f) (T_s - T_i)} \quad (21)$$


Para o procedimento experimental, o calor específico pode ser tomado como a média, a umidade final é considerada zero, com ajuda da balança, obtém-se dados para a construção de um gráfico: fluxo de vapor versus diferença de temperatura dividido pela perda de peso como indica a Figura 5, a declividade da reta nos fornece  $(RW)/(T_s - T_i)$ ; logo fazendo uso de Equação (21), podemos calcular experimentalmente o valor de k.

Este método tem boa precisão, pois considera a transmissão de energia por convecção devido ao movimento do vapor da interfase que flui para a superfície livre. Foram Lusk, Karel e Goldblith (1964), os quais num trabalho anterior usaram o mesmo equipamento para o cálculo de k do salmão, merluza e perca, porém eles não consideraram o calor por convecção do vapor e o erro por desprezar este efeito foi de 2,5 a 3,5 % (Citado por Keppeler e Cowart 1972).

Grande exatidão pode ser obtida, conhecendo o verdadeiro calor de sublimação do produto e a lei de variação do calor específico na camada seca.

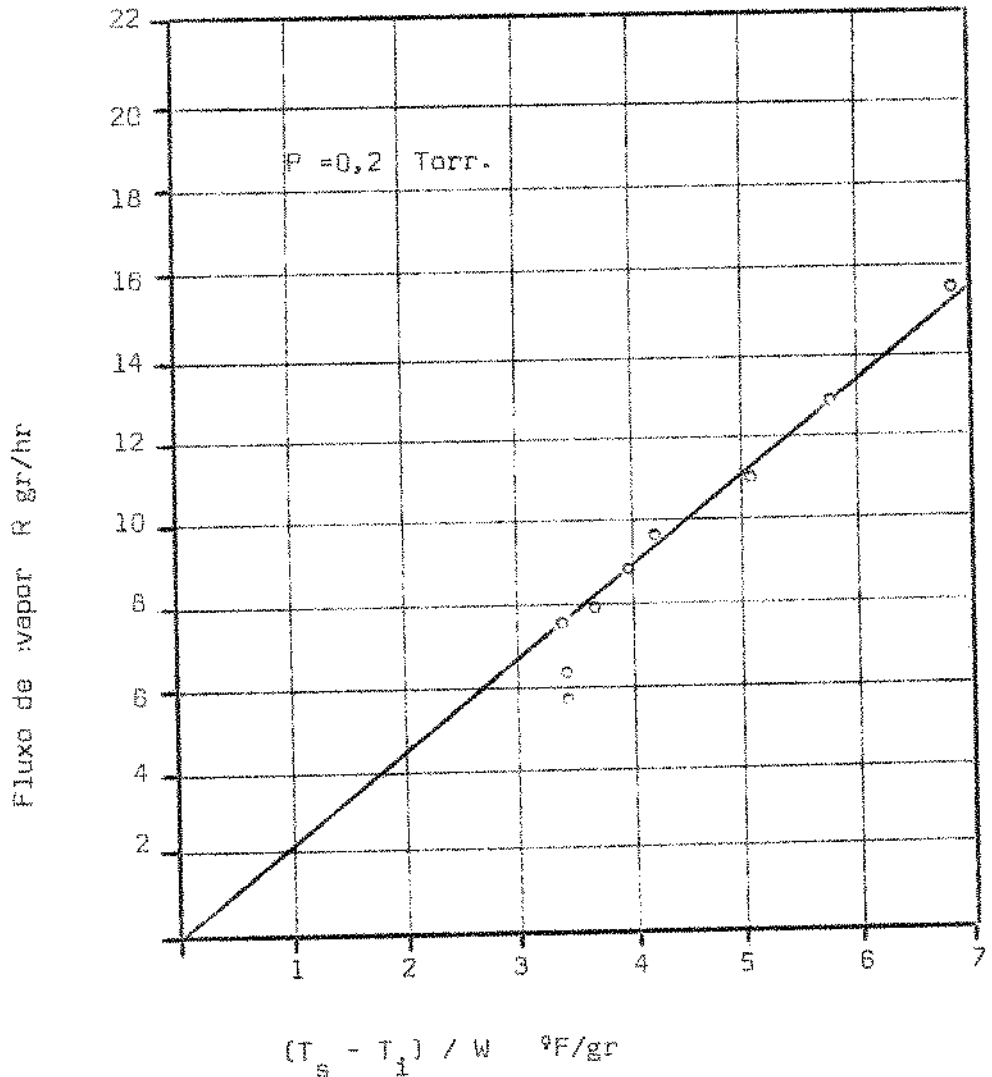
## B. Refrigeração

Lentz (1961) contribuiu no estudo da condutividade térmica e temperaturas usuais de refrigeração de alimentos. Sua técnica experimental baseou-se no método original da ASTM Standards (1955), cuja estrutura fundamental consiste em três placas dispostas em paralelo como na Figura 6 isoladas da melhor forma possível, para que a direção do fluxo de calor seja uniforme sobre a área de prova e perpendicular à superfície da amostra, todo o conjunto deve estar submerso, em um banho a temperatura constante. A faixa de temperatura de experimento foi de 5 a -30°C, as amostras empregadas para o estudo foram: carne (peixe, peru), gorduras e gels; leves modificações foram introduzidas no modelo original da ASTM.

O experimento de Lentz empregando uma mistura de gelatina com gelo, demonstrou que k é diretamente proporcional à temperatura (entre 10 e -25°C).

FIGURA 5

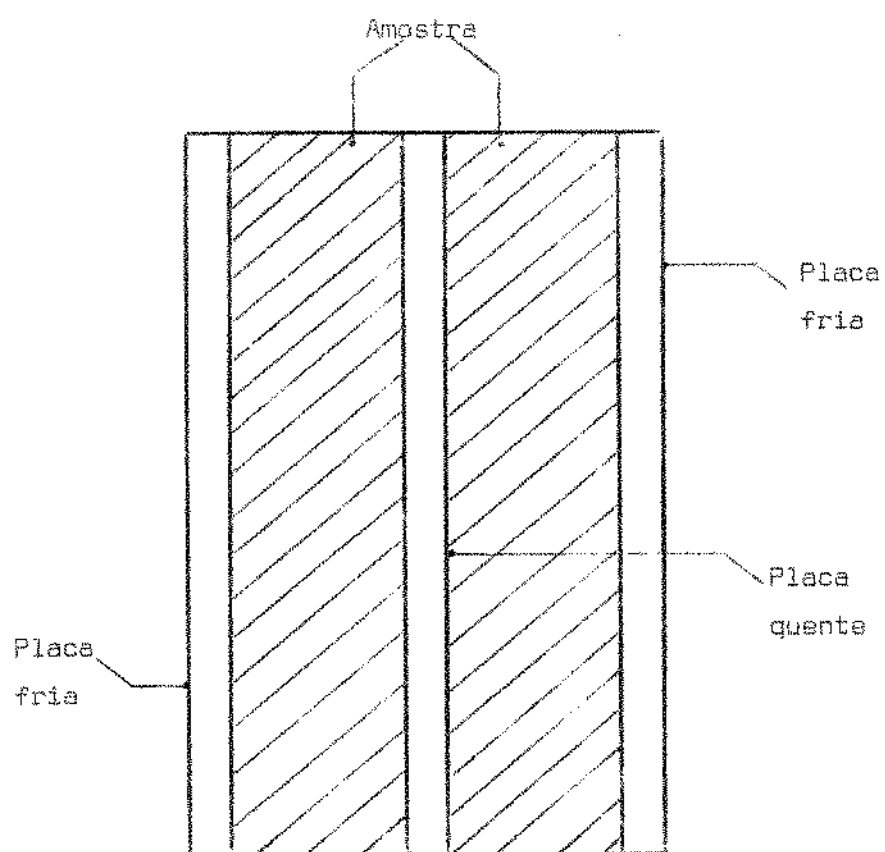
GRÁFICO EXPERIMENTAL PARA ENCONTRAR K DURANTE A LIOFILIZAÇÃO



Extraído de Massey e Sunderland (1967)

FIGURA 6

DIAGRAMA BÁSICO DA ASTM PARA DETERMINAR  $k$



Seus resultados confirmaram a validade da Eqaação (22) de Maxwell - Eucken (citado por Lentz 1961) para alimentos congelados ou parcialmente congelados revelando a boa precisão do método usado.

$$k = k_c \frac{1 - \left( \frac{1 - a}{k_c} \frac{k_d}{k_c} \right) b}{1 + (a - 1) b} \quad (22)$$

$k$  representa a condutividade térmica da mistura da fase contínua e dispersa.

$$a = 3 k_c / (3 k_c + k_d) \quad (23)$$

$$b = V_d / (V_c + V_d) \quad (24)$$

$V_c$  e  $V_d$  são os volumes da fase contínua e dispersa respectivamente.

Outra contribuição nas operações a baixas temperaturas Lusk, Karel e Goldblith (1964) computaram condutividade térmica de carnes congeladas (entre 0 e -25°C) como salmão, bife, porco, peru e bacalhau, encontram uma relação linear com a temperatura abaixo de ~10°C. Uma valiosa conclusão desta experiência demonstrou a dependência da orientação da fibra da amostra com o fluxo de calor; a condução foi de 15 a 30% maior ao longo da fibra, que no sentido perpendicular a ela.

Triebes e King (1966) chegaram a mesma conclusão posteriormente. Estas contribuições de natureza altamente prática tiveram imediata aplicação.

III. TABELA DE VALORES

Material	Temp. °F	Condutividade Térmica		Referência
		Sistema Inglês BTU/hrft°F	Sistema Internacional J/mseg°F	
A	B	C	D	E
<b>AÇUCARES</b>				
Solução glicose	% Peso			
	10,1	34,7 68,0 122,0 176,0	0,312 0,327 0,347 0,370	0,540 0,559 0,601 0,640
	20,1	34,7 68,0 122,0 176,0	0,294 0,309 0,330 0,346	0,509 0,535 0,571 0,599
	30,1	34,7 68,0 122,0 176,0	0,276 0,292 0,311 0,326	0,478 0,505 0,536 0,564
	39,9	34,7 68,0 122,0 176,0	0,258 0,272 0,290 0,306	0,446 0,471 0,502 0,529
Solução sacarose	10,0	32,0 50,0 68,0 86,0 104,0	0,309 0,318 0,327 0,336 0,343	0,535 0,550 0,566 0,582 0,594

A	B	C	D	E
20,0	122,0	0,350	0,608	
	140,0	0,356	0,618	
	158,0	0,363	0,628	
	176,0	0,368	0,637	
	32,0	0,292	0,504	
	50,0	0,300	0,519	
	68,0	0,309	0,535	
	86,0	0,318	0,547	
	104,0	0,324	0,561	
	122,0	0,330	0,571	
30,0	140,0	0,336	0,582	
	158,0	0,342	0,592	
	176,0	0,347	0,601	
	32	0,274	0,474	
	50	0,282	0,485	
	68	0,289	0,500	
	86	0,297	0,514	
	104	0,304	0,528	
	122	0,310	0,537	
	140	0,316	0,547	
40,0	158	0,321	0,556	
	176	0,325	0,565	
	32	0,256	0,443	
	50	0,264	0,457	
	68	0,272	0,471	
	86	0,277	0,479	
	104	0,284	0,482	

A	B	C	D	E
	122	0,280	0,502	
	140	0,286	0,512	
	158	0,300	0,519	
	176	0,304	0,526	
50,0	32	0,328	0,568	
	50	0,246	0,426	
	68	0,252	0,436	
	86	0,259	0,448	
	104	0,264	0,457	
	122	0,270	0,467	
	140	0,276	0,478	
	158	0,280	0,486	
	176	0,284	0,492	
CARNES				
Carne de cavalo				
Q 1(b).	86	0,254	0,439	Charm(1963b)
Carne de balsa, 75%				
Água	64,4	0,128	0,221	
Bife, 74,5% água, 01	32	0,275	0,476	
	23	0,536	0,931	
	14	0,690	1,194	
	-4	0,826	1,429	

A	B	C	D	E
Bife, 76,5% água, Q1	32 23 14 -4	0,275 0,610 0,778 0,906	0,476 1,055 1,346 1,568	
Bife magro (costas), 74% água, 3,4% gordura Q 1	36,5 32,0 23,0 14,0 -4,0	0,279 0,278 0,588 0,616 0,675	0,483 0,481 1,017 1,066 1,168	Lentz(1961)
Bife magro (lombo), 75% água, 0,9% gordura, Q 11 (c)	43 35 32 23 14 -4	0,300 0,290 0,284 0,742 0,729 0,904	0,519 0,502 0,492 1,284 1,371 1,564	

A	B	C	D	E
Bife (ubre), 9% água, 89% gordura, Q 1	23 14	0,166 0,148	0,287 0,256	
Bife magro, 78,5% água, Q 1	32 23 14 -4	0,277 0,812 0,778 0,907	0,479 1,059 1,346 1,570	Cherneeva (1956) citado por Lentz (1961)
Bife gorduro- so, 74,5% água	32 23 14 -4	0,277 0,637 0,692 0,827	0,479 0,929 1,197 1,431	
Bife gorduro- so, 7% água,	32 23 14 -4	0,118 0,122 0,131 0,141	0,204 0,211 0,226 0,344	
Bife, 69,5% água	0 5 10 15	0,630 0,620 0,610 0,600	1,090 1,073 1,055 1,038	Miller e Sunderland (1963) (a)

A	B	C	D	E
	20	0,590	1,021	
	25	0,580	1,003	
	30	0,520	0,900	
	32	0,160	0,277	
	35	0,170	0,294	
	40	0,180	0,331	
Bife de rins, 69,5% agua, Q 11	42	0,185	0,320	Miller e Sunderland (1963)
	37	0,680	0,312	
	24	0,590	1,021	
	17	0,600	1,038	Citado por
	10	0,610	0,056	Hill, Leitman e Sunderland (1967)
	2	0,620	1,073	
Bife magro enlatado 78,8% agua, 0,8% gordura , Q 1	8,7	0,769	1,331	
	18,4	0,718	1,243	
	44,5	0,275	0,476	
	74,4	0,276	0,481	
	97,3	0,270	0,467	
	143,7	0,281	0,486	

A	B	C	D	E
Bife magro enlatado 78,7% agua, 1,4%gor- dura, Q 11	11,3 19,8 46,2 63,4 89,8 141,6	0,806 0,757 0,249 0,258 0,251 0,256	1,395 1,310 0,431 0,429 0,434 0,443	Leitman e Sunderland (1957)
Bife magro enlatado 76,5% agua, 2,35%gor- dura, Q 11	0,3 13,0 18,4 22,3 37,5 46,5	0,796 0,750 0,701 0,690 0,230 0,232	1,377 1,296 1,213 1,164 0,368 0,401	
Bife magro enlatado 78% agua, 3% gordura Q 1	3,6 17,0 16,5 18,9	0,647 0,632 0,635 0,626	1,119 1,093 1,099 1,087	

A	B	C	D	E
	24,6	0,583	1,300	
	36,3	0,252	0,436	
	42,1	0,255	0,441	
	45,8	0,256	0,443	
	46,3	0,257	0,444	
Bife (lombo)	66,2	0,750	1,300	Morley (1966)
	60,6	0,297	0,515	
Bife (peito)	80,8	0,288	0,510	
Porco (lombo)	60,8	0,297	0,517	
	-2,2	1,040	1,800	
Carneiro (Lombo)	-2,2	1,020	1,770	
Bife (lombo com gordura)	60,8	0,120	0,206	
	-2,2	0,155	0,268	
Bife rins	98,5	0,108	0,187	
	60,8	0,108	0,187	
	33,8	0,110	0,190	
Bife de pescoço				
Densidade				
59,5lb/ft <sup>3</sup>	43,1	0,235	0,407	Quashou
60,01b/ft <sup>3</sup>	38,4	0,253	0,438	(1970)
Porco magro, 76,8% água Q 1	32	0,276	0,478	Cherneeva (1956) Citado
	23	0,443	0,767	
	14	0,571	0,986	por Lentz (1961)

A	B	C	D	E
	-4	0,745	1,289	
Porco magro (pernil), 72% água, 6,1% gordura Q 11	40,1 20,3 -2,2 -9,4	0,266 0,700 0,761 0,789	0,460 1,212 1,317 1,360	Lentz (1967)
Porco magro (pernil), 72% água, 6,1% gordura, Q 11	39,2 16,7 -2,7 10,3	0,290 0,822 0,895 0,919	0,502 1,423 1,549 1,591	
Porco magro (pernil), 75,9% água 6,7% gordura, Q 1	6,2 13,0 17,4	0,750 0,737 0,738	1,298 1,275 1,277	Leitman e Sunderland (1967)

A	B	C	D	E
	42,8	0,282	0,488	
	46,9	0,286	0,495	
	70,6	0,283	0,507	
	112,7	0,306	0,529	
	138,8	0,312	0,540	
Porco magro (pernil), 75,1% água, 7,8% gordura, Q 11	8,2 12,8 21,3 23,6 38,8 43,0 66,2 109,3 141,3	0,823 0,800 0,745 0,730 0,256 0,261 0,262 0,280 0,283	1,425 1,384 1,289 1,263 0,443 0,452 0,453 0,485 0,489	
Carne de carneiro magro(pernil),71,0% água, 8,7% gordura Q 11	5,6 11,8 17,0 23,9	0,650 0,623 0,607 0,590	1,125 1,078 1,051 1,021	

A	B	C	D	E
	41,6	0,260	0,450	
	51,0	0,259	0,448	
	93,6	0,271	0,469	
	11,6	0,271	0,469	
	142,0	0,276	0,478	
Carneiro de carneiro (pernil) 71% água, 9,6% gordura				
0,11	6,0	0,735	1,272	
	18,1	0,730	1,263	
	19,3	0,689	1,182	
	24,8	0,678	1,175	
	42,0	0,240	0,415	
	750,8	0,226	0,391	
	87,4	0,236	0,408	
	119,3	0,243	0,421	
	142,6	0,244	0,422	
Vitela magra (pernil), 75% água, 2,1% gordura, P, 1				
	14,8	0,750	1,298	
	18,0	0,738	1,277	
	24,3	0,708	1,225	
	42,6	0,275	0,476	
	50,0	0,259	0,448	

A	B	C	D	E
	108,0	0,279	0,478	
	125,8	0,362	0,488	
	144,4	0,283	0,448	
Vitela magra (pernil), 75% água, 2,1% gordu- ra, Q 11	8,2	0,835	1,817	
	13,8	0,814	1,409	
	20,9	0,773	1,338	
	23,6	0,762	1,319	
	40,4	0,255	0,441	
	47,2	0,260	0,450	
	74,6	0,256	0,446	
	106,4	0,254	0,439	
	138,9	0,261	0,452	
Carne de Coelho	98,6	0,290	0,501	
Bife liofilizado				
Pressão (mmHg)				
1000		0,037	0,065	Harper
100,		0,037	0,054	(1962)
10,		0,035	0,061	
1,0		0,028	0,048	
0,4		0,024	0,041	
0,1		0,023	0,039	

A	B	C	D	E
0,04		0,022	0,038	
0,01		0,022	0,038	
0,001		0,022	0,037	
Bife liofilizado a diferentes atmosferas Freon - 12				
Pressão (mmHg)				
0,019		0,021	0,037	Harper e El Sahrigi
0,055		0,022	0,039	
0,128		0,022	0,039	(1964)
0,240		0,023	0,040	
0,570		0,024	0,042	
1,100		0,025	0,044	
2,250		0,026	0,045	
4,800		0,027	0,047	
16,600		0,028	0,049	
38,000		0,029	0,050	
125,000		0,029	0,050	
301,000		0,029	0,050	
760,000		0,029	0,050	
$\text{CO}_2$				
Pressão (mmHg)				
0,021		0,022	0,038	

A	B	C	D	E
0,051		0,022	0,038	
0,105		0,022	0,038	
0,205		0,023	0,040	
0,470		0,025	0,043	
1,000		0,026	0,045	
2,480		0,027	0,048	
5,300		0,029	0,050	
10,400		0,030	0,052	
19,500		0,021	0,054	
50,000		0,032	0,056	
140,000		0,032	0,056	
340,000		0,032	0,056	
760,000		0,032	0,056	
Nitrogênio Pressão (mmHg)				
0,005		0,022	0,038	
0,007		0,022	0,038	
0,013		0,022	0,038	
0,023		0,022	0,038	
0,051		0,022	0,038	
0,104		0,023	0,039	
0,220		0,024	0,042	
0,410		0,026	0,045	
0,840		0,026	0,048	
1,670		0,029	0,051	

A	B	C	D	E
3,100		0,032	0,055	
5,300		0,033	0,057	
11,000		0,035	0,061	
20,000		0,037	0,064	
57,000		0,038	0,065	
112,000		0,038	0,065	
250,000		0,038	0,065	
760,000		0,038	0,065	
Hidrogenio Pressão (mmHg)				
0,005		0,022	0,037	
0,007		0,022	0,037	
0,113		0,022	0,037	
0,019		0,022	0,037	
0,046		0,023	0,038	
0,096		0,024	0,041	
0,207		0,027	0,047	
0,490		0,033	0,057	
0,970		0,042	0,073	
2,100		0,053	0,092	
5,200		0,065	0,113	
11,500		0,075	0,121	
23,500		0,084	0,146	
53,000		0,096	0,166	
125,000		0,109	0,188	

A	B	C	D	E
260,000		0,115	0,199	
760,000		0,115	0,199	
Bife liofilizado				
Pressão (mmHg)				
0,2		0,023	0,039	
0,5		0,025	0,044	
0,9		0,027	0,046	
1,5		0,029	0,050	
2,5		0,030	0,052	
3,0		0,032	0,055	
Carne de perú lio-				
filizada, Q 11				
Pressão m (mmHg)				
10-1000		0,04	0,069	Triebes e
0,01-0,1		0,02	0,035	King (1966)
		0,255	0,044	Walters
Galinha (musculo)	40-80	0,014	0,024	(1963)
Galinha (pele)	40-80			
Peru (peito) 74%				
água, 2,1% gordura,				
Q 11	-13	0,968	1,676	Lentz (1961)

A	B	C	D	E
	5	0,883	1,528	
	14	0,847	1,466	
	23	0,798	1,381	
	37	0,302	0,523	
Peru (coxe), Q 1	-13	0,871	1,508	
	-4	0,835	1,445	
	14	0,762	1,319	
	23	0,702	1,121	
	37	0,290	0,502	
Peru (peito), Q 1	-13	0,762	1,319	
	-4	0,738	1,277	
	5	0,702	1,215	
	14	0,672	1,172	
	23	0,641	1,109	
	37	0,290	0,502	
FRUTAS				
Suco de maçã				
Indice	Conc. %			
de re	peso			
fração	seco			
	por 100			
	g.sol.			
1,351	12,6	68	0,323	0,559
1,351	12,6	176	0,364	0,630
				Riedel (1949) (a)

A	B	C	D	E
1,380	29,8	58	0,392	0,670
1,380	29,8	176	0,326	0,564
1,448	64,0	68	0,225	0,389
1,448	64,0	176	0,252	0,436
Suco de pêra				
1,355	15,3	68	0,318	0,550
1,355	15,3	176	0,364	0,630
1,398	39,6	68	0,275	0,476
1,398	39,6	176	0,308	0,533
1,441	61,0	68	0,232	0,401
1,441	61,0	176	0,258	0,446
Suco de uva				
1,349	--	68	0,328	0,586
1,349	--	176	0,370	0,640
1,384	--	86	0,287	0,497
1,384	--	176	0,321	0,556
1,445	--	68	0,224	0,396
1,445	--	176	0,254	0,439
Uvas passas				
Densidade aparente				
36 lb/ft <sup>3</sup>	28 - 11,6	0,16	0,277	Smith (1952)
39 "	35 - 6,6	0,19	0,329	(a)
Morango				
Densidade aparente				
50 lb/ft <sup>3</sup>	2,6 - 10	0,649	1,123	

A	B	C	D	E
40 lb/ft <sup>3</sup>	2,4 - 8,0	0,310	0,537	
30 "	5,0 - 5,4	0,340	0,568	
Ameixa Japonesa				
Densidade aparente				
3,6 lb/ft <sup>3</sup>	3 - 6,8	0,140	0,242	
Pomelo (suco)	32 - 59	0,230	0,398	Gane (1936)
Laranja (suco)	32 - 59	0,240	0,415	(a)
Pêssego	0 - 80	0,650	1,125	
GRÃOS				
Arroz com casca,umi- dade média 12,7%	122 124 126 139 142 152 158	0,404 0,445 0,362 0,367 0,425 0,458 0,440	0,699 0,770 0,627 0,635 0,736 0,793 0,762	Dua e Ojha (1969) Citedo por Stolf (1972)
Arroz sem casca,umi- dade média 12%	124 130 144 148 156 158	0,775 0,495 0,485 0,508 0,522 0,495	0,822 0,856 0,835 0,878 0,903 0,856	

A	B	C	D	E
Arroz brunito, umidade média 13,4%	126 131 137 140 158 160	0,533 0,570 0,542 0,588 0,555 0,592	0,923 0,987 0,938 1,018 0,961 1,025	
Trigo vermelho "spring", umidade média M	68,0 41,0 33,8 21,2 1,4 -14,0	( 80,8 + 0,812M)* ( 80,8 + 0,550M)* ( 78,8 + 0,785M)* ( 57,6 + 0,888M)* ( 81,8 + 0,542M)* ( 83,0 + 0,550M)*	Para obter valores neste sistema multiplicar por 1,731	Chandra (1971)
		* multiplicar por $10^{-3}$		
Café	70,0	0,100	0,173	Silvetz e Elliot (1963)
Milho amarelo 13,2% água	104,0	0,052	0,090	
Aveia, 8,9% água	0-104	0,037	0,064	Bakke (1955)
Aveia, 31,8% água	0-104	0,053	0,092	(a)

A	B	C	D	E
<b>CORDURAS</b>				
Manteiga	-13 -4 5 14 23 32 41 50	0,097 0,097 0,097 0,097 0,097 0,097 0,097 0,097	0,168 0,168 0,168 0,168 0,168 0,168 0,168 0,168	Lentz (1961)
Gordura de porco, 6% água, 93% gordura	-13 -4 5 14 23 32 41 50	0,120 0,120 0,120 0,120 0,120 0,120 0,120 0,120	0,210 0,210 0,210 0,210 0,210 0,210 0,210 0,210	
Gordura de ubre vaca 9% água, 89% gordura	-13 -4 5 14 23	0,180 0,180 0,180 0,180 0,180	0,311 0,311 0,311 0,311 0,311	
Sebo, 7% água	-4	0,147	0,254	Cherneeva (1956) Citedo por Lentz (1961)

A	B	C	D	E
	14	0,131	0,227	
	23	0,122	0,211	
	32	0,118	0,204	
Gordura de porco, 8,1% água	-4	0,168	0,291	
	14	0,147	0,254	
	23	0,131	0,227	
	32	0,106	0,187	
Gordura de baleia, 4,3% água, 95% gor- dura	-13	0,130	0,225	
	-4	0,130	0,225	
	5	0,120	0,208	
	14	0,120	0,208	
	23	0,120	0,208	
	32	0,110	0,194	
	41	0,110	0,194	
	50	0,110	0,194	

A	B	C	D	E
Sebo % água				
2,0	68	0,054	0,093	Lapshin(1951)
15,6	68	0,104	0,180	Citado por
29,5	68	0,200	0,346	Lentz (1961)
LEITE E PRODUTOS				
Leite não desnatado				
3,6% gordura	34,7	0,220	0,554	Riedel
	68,0	0,318	0,550	(1949) (a)
	122,0	0,339	0,567	
	176,0	0,355	0,614	
	70,0	0,320	0,554	Hall (1971)
Leite de vaca crú	97,1	0,302	0,523	Spells(1961)
	98,9	0,310	0,537	(a)
	97,4	0,310	0,537	
Leite condensado				
% água				
90	75,6	0,333	0,576	ASME (1959)
	105,7	0,347	0,601	(a)
	139,2	0,357	0,616	
	172,8	0,366	0,633	
80	79,9	0,308	0,533	
	104,9	0,323	0,559	
	139,0	0,338	0,585	
	173,5	0,347	0,601	

A	B	C	D	E
67	73,2	0,273	0,472	
	105,2	0,291	0,504	
	140,0	0,296	0,516	
	173,7	0,304	0,526	
50	78,8	0,187	0,324	
	103,8	0,197	0,341	
	139,1	0,206	0,356	
	173,1	0,210	0,363	
Leite evaporado r = 1(d), 2,5% gordura				
	34,7	0,306	0,529	Riedel (1948)
	68,0	0,322	0,557	
	122,0	0,342	0,592	(a)
	176,0	0,358	0,619	
Leite evaporado r = 1,9				
	34,7	0,281	0,486	
	68,0	0,292	0,505	
	122,0	0,313	0,542	
	176,0	0,327	0,566	
Leite evaporado r = 2,54				
	34,7	0,264	0,457	
	68,0	0,273	0,472	
	122,0	0,295	0,511	
	176,0	0,308	0,533	

A	B	C	D	E
Leitelho, 0,35% gordura	34,7 68,0	0,312 0,329	0,540 0,569	
Soro, c/ gordura	34,7 68,0 122,0 176,0	0,313 0,328 0,349 0,370	0,542 0,567 0,604 0,640	
Leite não desnatado	68,0 176,0	0,320 0,350	0,554 0,606	Hall e H drick(19/1)
Leite evaporado $r = 1,9$	68,0 176,0	0,280 0,320	0,485 0,554	
$r = 2,54$	68,0 176,0	0,260 0,300	0,450 0,519	
Soro	68,0 176,0	0,310 0,366	0,584 0,633	
ÓLEOS				
Óleo de fígado de bacalhau	93,1	0,097	0,167	Spells(1950)
Óleo de bacalhau	97,0	0,099	0,172	(a)
Óleo de limão	42,8	0,098	0,170	Sakiedis(1952)
Óleo de noz moscada	39,2	0,090	0,156	(a)

A	B	C	D	E
Óleo de amendoim	39,2	0,097	0,168	
Óleo de gergelim	39,2	0,101	0,175	
Óleo de amêndoa	39,2	0,103	0,177	
Óleo de oliveira	84,0	0,097	0,168	Woolf (1954)
	120,0	0,096	0,166	(a)
	212,0	0,094	0,163	
	68,0	0,087	0,166	Kern (1954)
	212,0	0,095	0,164	(a)
OVOS				
Ovos brancos	91,4	0,324	0,561	Spalis (1960)
	95,0	0,322	0,557	(a)
	98,0	0,322	0,557	
	100,8	0,320	0,554	
Gema de ovo	94,7	0,196	0,339	
	94,3	0,196	0,339	
	88,7	0,197	0,341	
	90,5	0,192	0,332	
Ovo crú congelado	14,0	0,660	0,969	
	20,0		0,969	
	20,8	0,560	0,969	
PEIXES				
Bacalhau	-20	0,724	1,250	Charm (1963 b)

A	B	C	D	E
Merluza	-4	1,060	1,834	Jason (1955)
	14	0,558	1,658	(a)
	34	0,314	0,543	
Salmão, Q 1	-13	0,728	1,250	Lentz (1961)
	-4	0,690	1,190	
	5	0,665	1,150	
	11	0,641	1,110	
	23	0,605	1,050	
	39	0,290	0,500	
Merluza liofilizada				
Pressão mmHg				
140 - 150		0,034	0,058	Lusk (1984)
70 - 90		0,011	0,019	
Filé de bacalhau	0,5	0,680	1,180	Speel (1956)
	6,9	0,680	1,180	(a)
Bacalhau curado Q 1	-13	0,098	0,168	Lentz (1961)
	-4	0,871	1,510	
	5	0,835	1,445	
	14	0,798	1,381	

A	B	C	D	E
	23	0,750	1,290	
	25	0,714	1,236	
	32	0,314	0,543	
VEGETAIS				
Brocole, densidade aparente 35 lb/ft <sup>3</sup>	24,6	0,22	0,380	Smith (1952)
	15,6	0,22	0,380	(a)
Cenoura ralada den- sidade aparente, 39 lb/ft <sup>3</sup>	5,7	0,36	0,620	
	3,0	0,36	0,620	
Purê de cenoura den- sidade aparente, 56 lb/ft <sup>3</sup>	20,3	0,73	1,260	
	18,2	0,73	1,260	
Ervilha inglesa	0	0,01	1,060	
	80	0,61	1,060	
Purê de batata	4,8	0,63	1,090	
	13,1	0,63	1,090	
Feijão triturado	12,4	0,53	0,920	
	5,5	0,53	0,920	
	53,8	0,22	0,380	
	41,5	0,22	0,380	

A	B	C	D	E
Abobrinha	32,0 59,0	0,29 0,29	0,500 0,500	Gane (1955) (a)
PRODUTOS DIVERSOS				
Cogumelo liofilizado				
Pressão (mmHg)				
760,0		0,0196	0,0343	Kappeler e Cowart
1,0		0,0113	0,0196	
0,3		0,0064	0,0111	(1972)
Purê de banana	60	0,3200	0,554	Charm (1963)
Produtos liofilizados:				
Celatina	105	0,024	0,041	Saravacos e Pilsworth
Goma de celulose	105	0,036	0,062	
Albumem de ovo	105	0,024	0,042	( 1965 )
Pectina 10%	105	0,027	0,047	
Pectina 5%	105	0,023	0,038	
Pectina 5% com glucose 5%	105	0,029	0,049	
Amido de batata	105	0,024	0,049	

(a) - Citado por Woodman e Nowrey (1968)

(b) - Q 1 é fluxo de calor perpendicular à fibra

(c) - Q 11 é fluxo de calor paralelo à fibra

(b) - r = peso inicial da leita/peso depois da evaporação

#### IV. NOMENCLATURA

A	áreas da secção plana perpendicular ao fluxo de calor, m <sup>2</sup>
A <sub>1</sub>	área superficial interna, m <sup>2</sup>
A <sub>2</sub>	área superficial externa, m <sup>2</sup>
C	constante da Equação de Harper (1962), mmHg
c <sub>p</sub>	calor específico, J/Kg °K
f	declividade reciproca negativa, da curva de penetração de calor, mm.
h	coeficiente de transferência de calor J/m <sup>2</sup> sec°K
k	condutividade térmica, J/m sec°K
k <sub>c</sub>	condutividade térmica da face contínua, J/m sec°K
K <sub>d</sub>	condutividade térmica da fase dispersa, J/m sec°K
K <sub>e</sub>	condutividade térmica efetiva, J/m sec °K
k <sub>g</sub>	condutividade térmica do gas no sólido poroso, J/m sec °K
k <sub>go</sub>	condutividade térmica do gas livre, J/m sec °K
K <sub>s</sub>	condutividade térmica do sólido poroso, J/m sec °K
L	comprimento ou distância, m
m <sub>f</sub>	umidade final, Kg Água/Kg de produto
m <sub>i</sub>	umidade inicial, kg agua/kg de produto
Q	fluxo de calor, Watt
R	fluxo total de vapor na sublimação, Kg/hr
R <sub>1</sub>	raio interno, m
R <sub>2</sub>	raio externo, m
s	calor de sublimação, j/Kg
T <sub>1</sub>	temperatura interna, °K
T <sub>2</sub>	temperatura externa, °K

$T_i$  temperatura de interface, °K  
 $T_s$  temperatura da região seca, °K  
 $V_c$  volume da fase contínua, m<sup>3</sup>  
 $V_d$  volume da fase dispersa, m<sup>3</sup>  
 $W$  perda de peso , Kg/hr.

LETRAS GREGAS

$\alpha$  difusividade térmica, m/sec  
 $\theta_1$  tempo inicial, sec  
 $\theta_2$  tempo final, sec.  
 $\phi$  porosidade  
 $\rho$  densidade, Kg/m<sup>3</sup>  
 $\rho_s$  densidade da região seca Kg/m<sup>3</sup>  
 $\mu_1$  função matemática  
 $\lambda_1$  função matemática

As unidades acima citadas correspondem ao Sistema Internacional de Unidades.

## V. BIBLIOGRAFIA

- Ball,C.O. e Olson, F.C.W., 1957. "Sterilization in Food Technology". Mc Graw Hill Book Company, Inc., New York, First Edition.
- Chandra, S., e Muir,W.R.,1971. Thermal conductivitis of spring wheat at low temperatures. Transactions of the ASAE. 14, 644.
- Charm, S., 1963 a. A method for experimentally evaluating heat-tranfer coefficients in freezers and thermal oconductivity of frozen foods. Food Technol. 17, 1305.
- Charm,S., 1963 b. "The Fundamentals of food Engineering". The AVI Publishing Company, Inc. Westport, Connecticut, First Edition.
- Eckert,E.R.G. e Drake, R.M., 1959. "Heat and Mass Transfer". Mc Graw Hill Book Company, Inc., New York, Second Edition.
- Dickerson,Jr.,R.W., 1965. An apparatus for the measurement of thermal diffusivity of foods. Food Technol. 19, 880.
- Dickerson, Jr., e Read,Jr.,R.S., 1968. Calculation and measurement of heat transfer in foods. Food Technol. 22 , 1538.
- Hall, C.W., e Hedrick, T.I., 1971. "Drying of Milk and Milk Products". The AVI Publishing Company, Inc.. Westport Connecticut, Second Edi~~tion~~.
- Hayakawa, K., 1971. Development of a procedure for determining the apparet thermal diffusivity of viscous liquid food by using cylindrical cell. Eleventh International Thermal Conductivity Conference,Albuquerque, New Mexico. September 28 - October 1.

Harper,J.C., 1962. Transport Properties of gases in porous media at reduced pressures with reference to freeze-drying. A.I.CH.E.Journal. 8, 298.

Harper,J.C., & El Sahrighi, A.F., 1964. Thermal conductivities of gel-filled porous solid. Ind. and Eng.Chem.Fund. 3, 318.

Hill,J.S., Leitman,J.B. & Sunderland, E.J., 1967. Thermal conductivity of various meats. Food Technol. 21, 1143.

Kappeler,R.A., & Cowart,D.G., 1972 .Thermal properties of freeze-fried mushrooms. Journal of Food Science 37, 205.

Jason,A.C., & Jewitt,R., 1969. "Physical Properties of Foods-tuffs in Relation to Engineering Design". Dechema Monographien, Band 63, Verlag Chemie GMBH, Weinheim of Bergstrasse.

Lentz,C.P., 1961. Thermal conductivity of meats, fats, gelatin gel and ice. Food Technol. 15, 243.

Lusk,G., Karel, M., & Goldblith, S.A., 1964. Thermal conductivity of some freeze-dried fish. Food Technol. 18, 1625.

Massey,W.M., & Sunderland, E.J., 1967, Measurement of thermal conductivity during freeze-drying of beef. Food Technol., 21, 408.

Morley,M.J., 1966. Thermal conductivities of muscles, fats and bones. Food. Techol. 1, 303.

Qashou, M., Nix, G.H., Vachon,R.I., and Lowery,G.W., 1970.Thermal conductivity values for ground beef and chuck. Food Technol. 24, 493.

Reidy,B.A. & Rippen, A.L., 1971 . Methods for determining thermal conductivity in foods. Transactions of the ASAE, 14, 248

Saravacos,G.O. e Pilsworth,Jr.M., 1965. Thermal conductivity of freeze-dried model food gels. *Food Technol.* 30, 774.

Silvert,M., Elliot,F., 1983. "Coffe Processing Technology" Vol.1,The AVI Publication Company, Inc. Westport, Connecticut, First Edition.

Stolif,S.R., 1970. Medição da condutividade térmica dos alimentos. Boletim nº 29 do Instituto de Tecnologia de Alimentos, Campinas, São Paulo.

Stuart,E.B., e Closset, G., 1971. Pore size effect in the freeze-drying process. *Journal of Food Science*, 36, 336.

Teit,R.W.F., e Hille, B.A., 1964. Methods for determining liquid thermal conductivities. *Ind. Eng. Chem.*, 56, 29.

Trisbes, T.A., e King,C.J., 1966. Factor influencing the rate of heat conduction in freeze-frying. *Ind. and Eng.Chem. Process Design and Development*, 5, 430.

Walters,R.E., e May,K.N., 1963. Thermal Conductivity and density of chicken breast muscle and skin. *Food Technol.* 17, 809.

Woodams, E.E., e Nowery, J.E., 1966. Literature values of thermal conductivities of foods. *Food Technol.* 22, 494.

...00000...